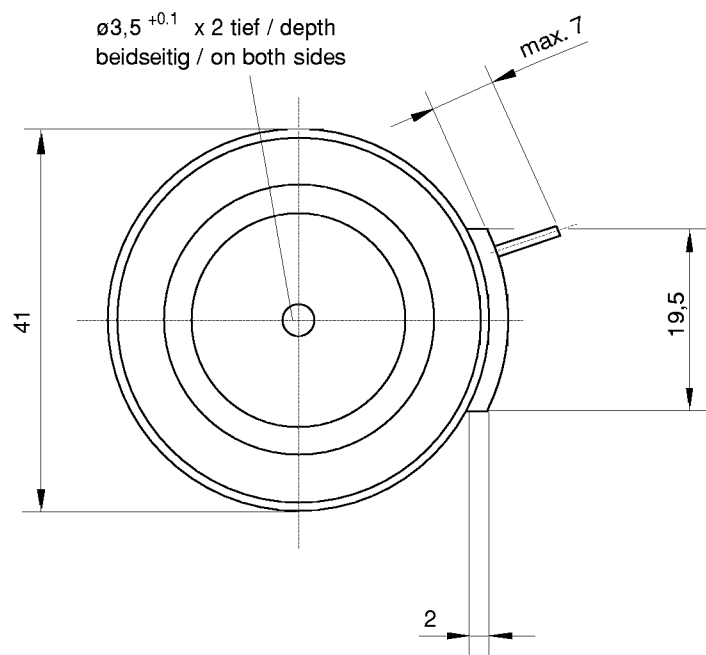
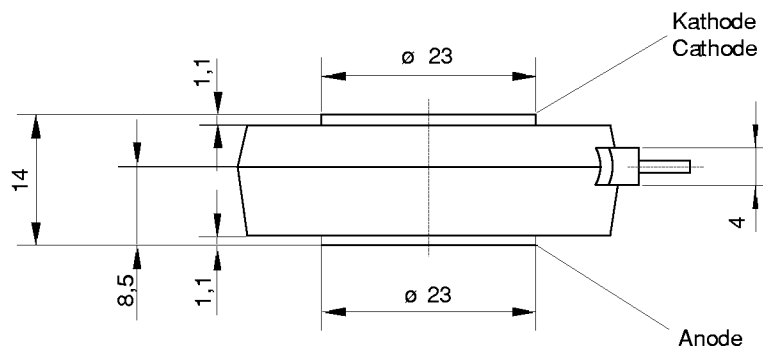


European Power-
Semiconductor and
Electronics Company
GmbH + Co. KG

Leistungsgleichrichterdioden Power Rectifier Diodes D 428 N



D 428 N

Elektrische Eigenschaften	Electrical properties					
Höchstzulässige Werte	Maximum rated values					
Periodische Spitzensperrspannung	repetitive peak reverse voltage	$t_{vj} = -40^{\circ}\text{C} \dots t_{vj\max}$	V_{RRM}	800, 1200, 1400	V	
				1800, 2000	V	
Stoßspitzensperrspannung	non-repetitive peak reverse voltage	$t_{vj} = +25^{\circ}\text{C} \dots t_{vj\max}$	$V_{RSM} = V_{RRM}$	+ 100	V	
Durchlaßstrom-Grenzeffektivwert	RMS forward current		I_{FRMSM}	840	A	
Dauergrenzstrom	mean forward current	$t_c = 139^{\circ}\text{C}$	I_{FAVM}	430	$\text{A}^1)$	
		$t_c = 130^{\circ}\text{C}$		494	A	
		$t_c = 124^{\circ}\text{C}$		535		
Stoßstrom-Grenzwert	surge forward current	$t_{vj} = 25^{\circ}\text{C}, t_p = 10 \text{ ms}$	I_{FSM}	7,7	kA	
		$t_{vj} = t_{vj\max}, t_p = 10 \text{ ms}$		6	kA	
Grenzlastintegral	$I^2 t$ -value	$t_{vj} = 25^{\circ}\text{C}, t_p = 10 \text{ ms}$	$I^2 t$	296,45	$\text{kA}^2 \text{s}$	
		$t_{vj} = t_{vj\max}, t_p = 10 \text{ ms}$		180	$\text{kA}^2 \text{s}$	
Charakteristische Werte	Characteristic values					
Durchlaßspannung	on-state voltage	$t_{vj} = t_{vj\max}, i_F = 1,6 \text{ kA}$	V_T	max.	1,76	V
Schleusenspannung	threshold voltage	$t_{vj} = t_{vj\max}$	$V_{T(TO)}$		0,81	V
Ersatzwiderstand	slope resistance	$t_{vj} = t_{vj\max}$	r_T		1,54	$\text{m}\Omega$
Sperrstrom	reverse current	$t_{vj} = t_{vj\max}, V_R = V_{RRM}$	i_R	max.	30	mA
Thermische Eigenschaften	Thermal properties					
Innerer Widerstand	thermal resistance, junction to case	beidseitig/two-sided, $\Theta = 180^{\circ} \text{ sin}$	R_{thJC}	max.	0,069	$^{\circ}\text{C/W}$
		beidseitig/two sided, DC		max.	0,063	$^{\circ}\text{C/W}$
		Anode/anode, $\Theta = 180^{\circ} \text{ sin}$		max.	0,106	$^{\circ}\text{C/W}$
		Anode/anode, DC		max.	0,100	$^{\circ}\text{C/W}$
		Kathode/cathode, $\Theta = 180^{\circ} \text{ sin}$		max.	0,176	$^{\circ}\text{C/W}$
		Kathode/cathode, DC		max.	0,170	$^{\circ}\text{C/W}$
Übergangs-Wärmewiderstand	thermal resistance, case to heatsink	beidseitig /two-sided einseitig /single-sided	R_{thCK}	max.	0,015	$^{\circ}\text{C/W}$
				max.	0,030	$^{\circ}\text{C/W}$
Höchstzul. Sperrsichttemperatur	max. junction temperature	$t_{vj\max}$			180	$^{\circ}\text{C}$
Betriebstemperatur	operating temperature	$t_{c op}$			-40...+150	$^{\circ}\text{C}$
Lagertemperatur	storage temperature	t_{stg}			-40...+150	$^{\circ}\text{C}$
Mechanische Eigenschaften	Mechanical properties					
Si-Element mit Druckkontakt	Si-pellet with pressure contact	$\varnothing = 21 \text{ mm } (\varnothing = 23 \text{ mm})^2$				
Anpreßkraft	clamping force	Gehäuseform/case design T	F		3,2...7,6	kN
Gewicht	weight		G	typ.	75	g
Kriechstrecke	creepage distance				25	mm
Feuchtekategorie	humidity classification	DIN 40040				C
Schwingfestigkeit	vibration resistance	f = 50 Hz			50	m/s^2
Maßbild	outline					Seite/page

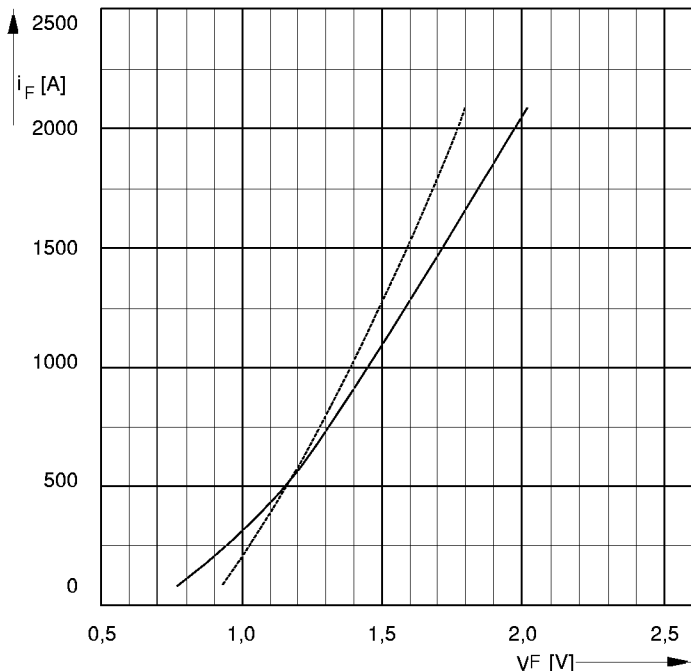
¹⁾) Ergänzende Angabe zur Typenbezeichnung

additional value for type definition

²⁾) Durchmesser 23 mm nur für $V_{RRM} = 2000 \text{ V}$

diameter 23 mm only for $V_{RRM} = 2000 \text{ V}$

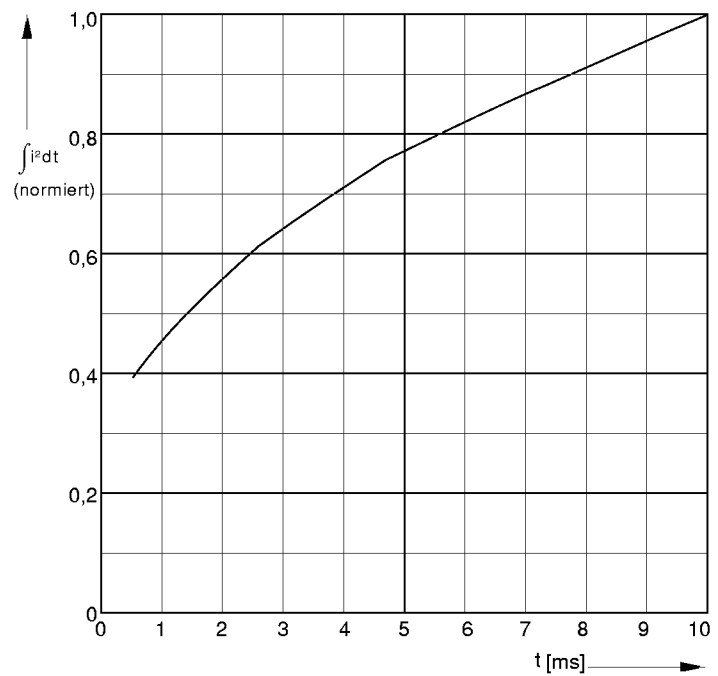
D 428 N



D428N_1

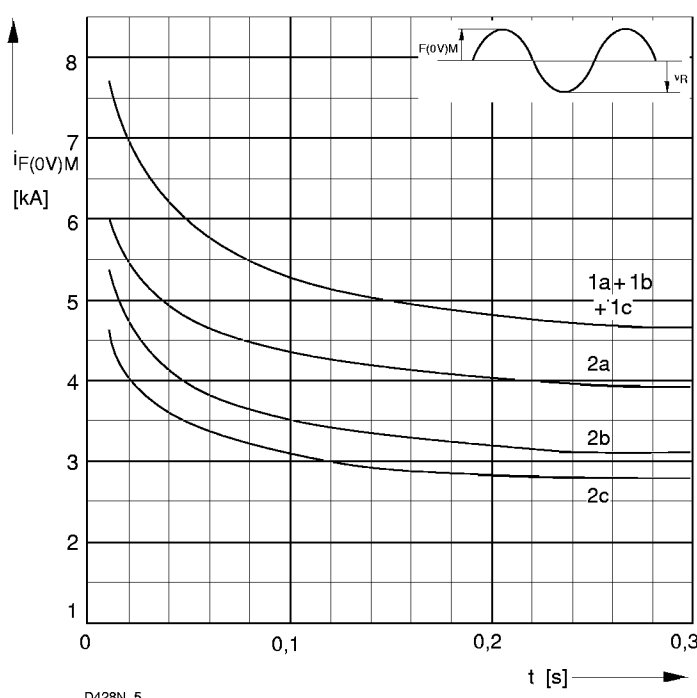
Bild/Fig. 1
Grenzdurchlaßkennlinie
Limiting forward characteristic $i_F = f(V_F)$

— $t_{vj} = \text{ }^\circ\text{C}$
— $t_{vj} = 25 \text{ }^\circ\text{C}$



D428N_4

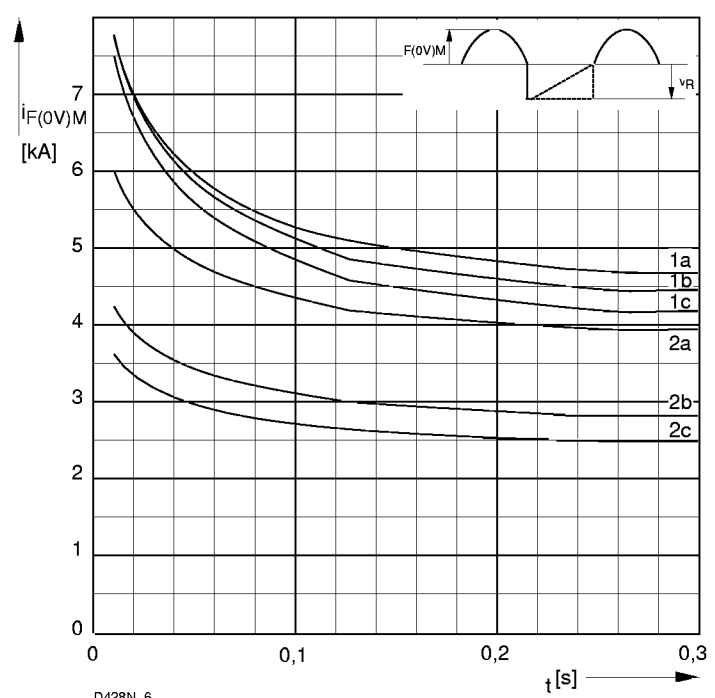
Bild / Fig. 2
Normiertes Grenzlastintegral / Normalized $i^2 t$
 $\int i^2 dt = f(t_p)$



D428N_5

Bild / Fig. 3
Grenzstrom / Maximum overload forward current $I_{F(0V)M} = f(t)$

1 - $I_{FAV(\text{vor})} = 0 \text{ A}; t_{vj} = t_c = 25 \text{ }^\circ\text{C}$
2 - $I_{FAV(\text{vor})} = \text{ } \text{A}; t_c = \text{ }^\circ\text{C}; t_{vj} = \text{ }^\circ\text{C}$
a - $v_R \leq 50 \text{ V}$
b - $v_R = V_{RRM}$
c - $v_R = 0,8 V_{RRM}$

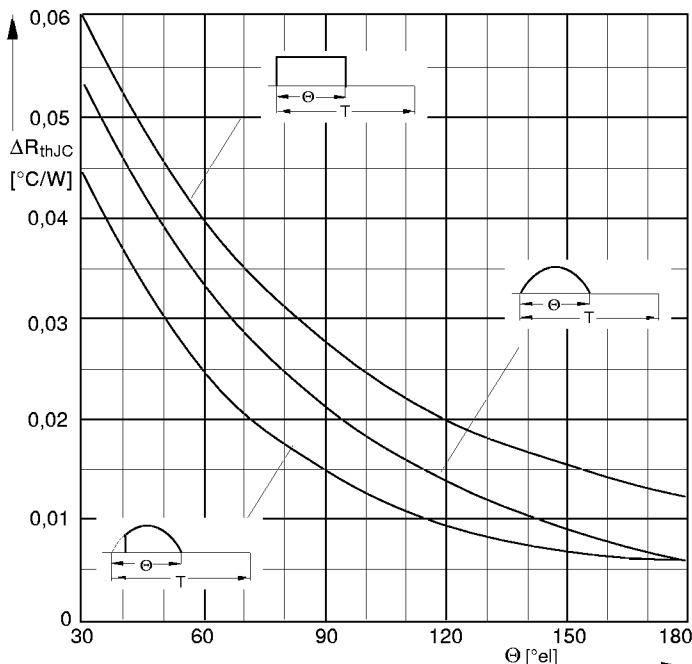


D428N_6

Bild / Fig. 4
Grenzstrom / Maximum overload forward current $I_{F(0V)M} = f(t)$

1 - $I_{FAV(\text{vor})} = 0 \text{ A}; t_{vj} = t_c = 25 \text{ }^\circ\text{C}$
2 - $I_{FAV(\text{vor})} = \text{ } \text{A}; t_c = \text{ }^\circ\text{C}; t_{vj} = \text{ }^\circ\text{C}$
a - $v_R \leq 50 \text{ V}$
b - $v_R = 0,5 V_{RRM}$
c - $v_R = 0,8 V_{RRM}$

D 428 N



D428N_3

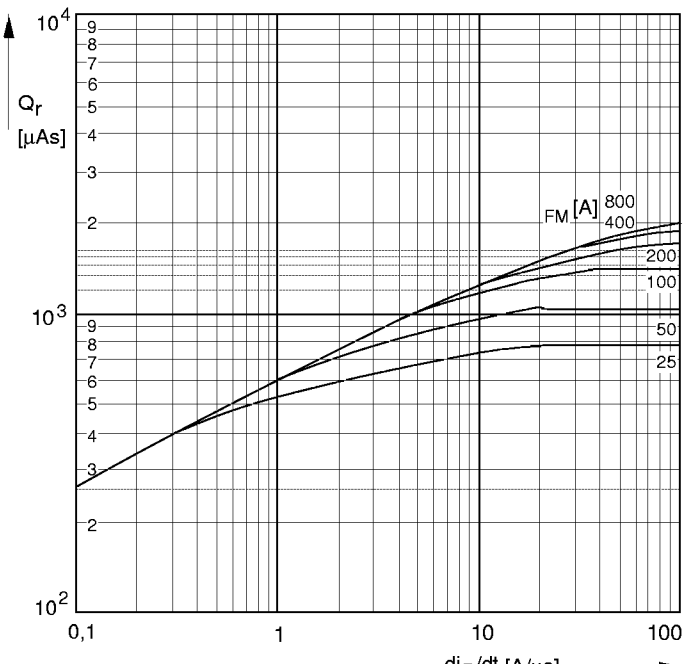
Bild / Fig. 5

Differenz zwischen den Wärmewiderständen

für Pulsstrom und DC

Difference between the values of thermal resistance for
pulse current and DC

Parameter: Stromkurvenform / Current waveform



D428N_7

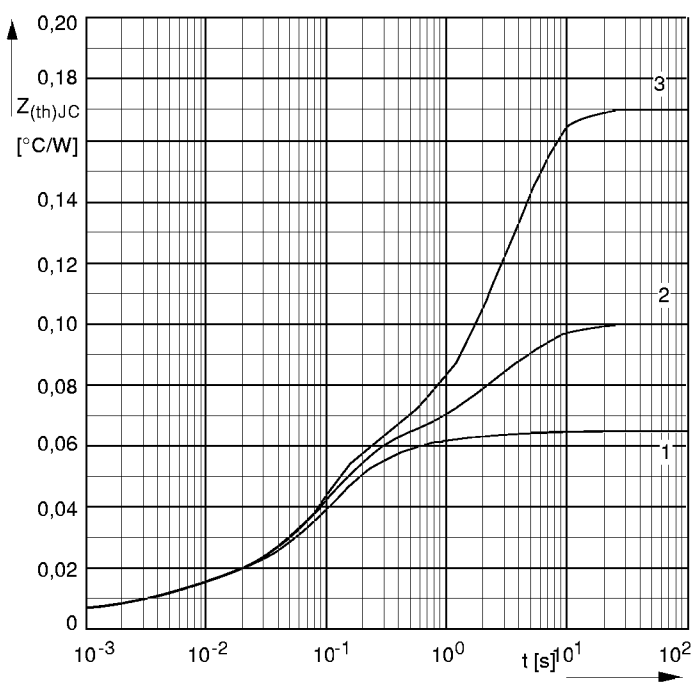
Bild / Fig. 6

Sperrverzögerungsladung / Recovered charge $Q_r = f(-di/dt)$

$t_{vj} = t_{vjmax}; V_R \leq 0,5 V_{RRM}, V_{RM} = 0,8 V_{RRM}$

Beschaltung / Snubber: $C = \mu\text{F}; R = \Omega$

Parameter: Durchlaßstrom / Forward current I_{FM}



D428N_2

Bild / Fig. 7

Transienter innerer Wärmewiderstand

Transient thermal impedance $Z_{thJC} = f(t)$, DC

1 - Beidseitige Kühlung / Two-sided cooling

2 - Anodenseitige Kühlung / Anode-sided cooling

3 - Kathodenseitige Kühlung / Cathode-sided cooling

Analytische Elemente des transienten Wärmewiderstandes Z_{thJC} für DC
Analytical elements of transient thermal impedance Z_{thJC} for DC

Pos. n	1	2	3	4	5	6	7
R_{thn} $^{\circ}\text{C}/\text{W}$	0,000114	0,003146	0,00934	0,0242	0,0762	0,195	0,112
τ_n [s]	0,000018	0,000282	0,00282	0,0132	0,265	1,2	7,57

Analytische Funktion / Analytical function:

$$Z_{thJC} = \sum_{n=1}^{n_{\max}} R_{thn} (1 - \text{EXP}(-t/\tau_n))$$